

## بررسی ریز ساختار کامپوزیت‌های زمینه آلومینیوم با فاز تقویت کننده نانو منیزیا تولید شده به

### روش اختلاط مستقیم

محمدامین باغچه سرا<sup>\*</sup><sup>۱</sup>، حسین عبدی زاده<sup>۲</sup>، حمیدرضا بهاروندی<sup>۳</sup>

### چکیده

کامپوزیت‌های زمینه آلومینیوم با فاز تقویت کننده نانو منیزیا به دلیل دارا بودن خواص مطلوبی نظری استحکام و مقاومت حرارتی در دمای بالا، در صنایع خاص مورد توجه قرار گرفته‌اند. در این پژوهش، علاوه بر روش بررسی پارامترهای مهم و موثر دما و درصد حجمی فاز تقویت کننده، به کارگیری روش فویل آلومینیوم (در جهت بهمود مشکلات موجود در فرآیند تولید) و همچنین استفاده از ذرات منیزیا در مقیاس نانو را می‌توان به عنوان نوآوری‌های مقاله حاضر یاد کرد. کامپوزیت زمینه آلومینیوم با فاز تقویت کننده نانو منیزیا با استفاده از روش گردابی (اختلاط مستقیم) تهیه گردید. نانو ذرات منیزیا به قطر ۶۰-۸۰ نانومتر با استفاده از این روش به آلیاژ Al-356 مذاب افزوده شده و پس از هم زدن به مدت ۱۳ دقیقه، مخلوط مذاب حاصله در قالب فلزی ریخته‌گری شد. تاثیر پارامترهای درصد حجمی نانو ذرات منیزیا شامل ۱/۵، ۲/۵ و ۵ درصد در دمای مختلف ذوب ریزی شامل ۸۰۰، ۸۵۰ و ۹۵۰°C، بر ریزساختار کامپوزیت طی ۹ حالت متفاوت مورد بررسی قرار گرفت. نتایج حاصله، نشان‌دهنده توزیع یکنواخت و مناسب نانو ذرات منیزیا در تمامی نمونه‌ها می‌باشد. همچنین با وجود آگلومرهای منیزیا در ساختار، توزیع آن‌ها به صورت همگن می‌باشد.

**واژه‌های کلیدی:** کامپوزیت زمینه آلومینیوم، نانو منیزیا، روش گردابی، آلیاژ Al-356، ریزساختار.

<sup>۱</sup>- دانشگاه آزاد اسلامی، واحد مسجد سلیمان، گروه مهندسی مواد و متالورژی، مسجد سلیمان، ایران

<sup>۲</sup>- دانشکده مهندسی متالورژی و مواد، پردیس دانشکده‌های فنی- دانشگاه تهران

<sup>۳</sup>- دانشگاه صنعتی مالک اشتر

\*- نویسنده مسؤول مقاله: amsara2000@gmail.com

سامیکی (که موجب سرباره شدن یا ته نشینی ذرات سامیکی خواهد شد)، عدم امکان کنترل کامل پارامترهای فرایند و امکان انجام فرایندهای مخرب در فصل مشترک زمینه و فاز دوم و نیز مشکلات ترشوندگی فاز دوم توسط زمینه اشاره نمود [۲۴].

در میان ذرات سرامیکی، منیزیا یا اکسید منیزیم هم مستثنی نبوده و عدم تر شوندگی آن با آلومینیوم باعث بروز مشکلاتی می‌گردد. منیزیا ماده‌ای با خواص دیرگذاری مطلوب است که دمای ذوب آن در حدود  $2800^{\circ}\text{C}$  می‌باشد [۴]. همچنین دارای خواص مناسبی از قبیل پایداری در برابر شوک‌های حرارتی، نقطه ذوب بالا، هدایت حرارتی پایین، و پایداری ترمودینامیکی بالا می‌باشد. دانسیته منیزیا  $3.220 \text{ g/cm}^3$ ، مدول یانگ  $58/\text{GPa}$  و سختی آن  $910$  ویکرز می‌باشد. منیزیا ماده‌ی معدنی سفید رنگ جامدی است که دارای شبکه‌ی کریستالی FCC با ثابت شبکه‌ی  $a = 4.212\text{\AA}$  است [۲۵].

کامپوزیت‌های زمینه آلومینیوم با فاز تقویت کننده نانو منیزیا به دلیل دارا بودن خواص مطلوبی نظری استحکام، چرمگی و حفظ این خواص در دماهای بالا، در صنایع خاصی همچون هوا-فضا مورد توجه ویژه قرار گرفته‌اند. با این وجود یکی از مشکلات ساخت این کامپوزیت‌ها، ترشوندگی نامناسب منیزیا در مذاب آلومنیوم می‌باشد که محدودیت‌هایی در ساخت این گونه کامپوزیت‌ها ایجاد می‌نماید.<sup>[۲۶-۲۹]</sup>

در این پژوهش، به منظور تولید کامپوزیتی با خواص مناسب، از مقادیر بهینه فاکتورهای موثر همچون زمان همزدن، تعداد دور همزن، زاویه همزن و رعایت سایر شرایط با توجه به تجربیات قبلی مستخرج از مراجع، استفاده شده و تاثیر پارامترهای دما و درصد حجمی ذرات تقویت کننده نانو منیزیا بر ریزساختار و نحوه توزیع آنها در کامپوزیت تولیدی طی ۹ حالت متفاوت بررسی گردید. در این راستا نتایج حاصله از آزمایش پراش اشعه X و تصاویر میکروسکوپ الکترونی نمونه‌های کامپوزیت تولیدی ممدد نمودند.

لازم به توضیح است که استفاده از ذرات منیزیا، بدون اعمال پوشش و با به کارگیری روش نوین فویل آلومنیوم بوده است. از سوی دیگر، استفاده از ذرات

بیشگفتار

کامپوزیت‌های زمینه فلزی<sup>۱</sup> با زمینه آلیاژهای سبک از قبیل آلومینیوم و منیزیم و تقویت شده با ذرات سرامیکی از قبیل کاربید بور، کاربید سیلیسیوم، آلومینا و منیزیما را می‌توان به عنوان دسته‌ای از مواد پیشرفته در نظر گرفت که دارای وزن کم، استحکام بالا، مدول الاستیسیته زیاد، ضریب انبساط حرارتی کم و مقاومت سایشی خوب می‌باشند. عموماً ترکیبی از این خواص به تنهایی، در یک ماده ساده یافتن نمی‌شود [۱-۳].

هدف از ساخت مواد کامپوزیتی زمینه فلزی با استفاده از ذرات سرامیکی، ترکیب خواص مطلوب فلزات و سرامیک‌ها بوده است. افزودن ذرات دیرگذار سخت با مدول کشسان بالا به زمینه فلزی منعطف، ماده‌ای را نتیجه می‌دهد که خواصی بینایی‌مند ذرات سرامیکی و آلیاژ زمینه داشته باشد. فلزات، ترکیب خوبی از خواصی چون استحکام و انعطاف‌پذیری دارند ولی در برخی موقع صلابت کمی داشته در حالی که سرامیک‌ها سخت و ترد می‌باشند [۴۵].

تاکنون تحقیقات وسیعی در زمینه ساخت کامپوزیت‌های تقویت شده با ذرات فاز ثانویه، انجام شده است. کامپوزیت‌های با ذرات تقویت کننده از فازهای SiC است. کامپوزیت‌های با ذرات تقویت کننده از فازهای Al<sub>2</sub>O<sub>3</sub>، TiB<sub>2</sub>، B<sub>4</sub>C<sub>6</sub>، [۱۲-۱۶]، [۱۹-۱۴]، [۲۰-۲۲] و یا ریخته‌گری روش‌های متالورژی پودر [۲۱ و ۲۲] و یا ریخته‌گری [۲۳] تهیه شده‌اند. اما با توجه به بررسی‌های صورت گرفته، به نظر می‌رسد تاکنون گزارشی در زمینه تولید و بررسی پارامترهای مورد بحث در این مقاله (دما و درصد حجمی) برای کامپوزیت زمینه آلومینیوم با فاز تقویت کننده نانو منیزیا، از منظر بهبود مشکلات پروسه تولید که پاد خواهند شد، منتشر نشده است.

در این میان ریخته‌گری گردابی، روش بسیار مناسبی است. زیرا هم ارزان قیمت بوده و هم برای تنوع گوناگونی از مواد و شرایط، قابلیت تولید را دارا می‌باشد. ولی استفاده از این روش جهت تولید کامپوزیت‌ها همواره با مشکلاتی همراه بوده است؛ از جمله می‌توان به اختلاف دانسته بین زمینه آلومینیومی و ذرات تقویت کننده

## **<sup>1</sup>- Metal Matrix Composites (MMCs)**

سیستم ریخته‌گری از سه بخش اصلی کوره، همزن و قالب تشکیل شده است. برای ذوب کردن شمشهای آلومینیم از کوره با مقاومتی با توان ۳۰ کیلو وات استفاده شد. درب کوره در قسمت فوقانی به گونه‌ای طراحی شد که باز کردن آن امکان ورود همزن به داخل مذاب فراهم شود. در کنار کوره، یک سیستم همزن طراحی و نصب گردید تا عمل همزدن مخلوط مذاب را انجام دهد (شکل ۱). پروانه این همزن از جنس گرافیت بوده و به صورت پره‌های توربینی با زاویه ۴۵ درجه و قطر ۴cm ساخته شد. طول میله فولادی که محور گرافیتی پروانه همزن را به موتور الکتریکی همزن متصل می‌سازد، حدوداً ۸۰ cm می‌باشد. قالب ریخته‌گری از جنس فولاد و به صورت مکعب مستطیل بوده که از پنج قطعه قابل اتصال به همراه یک قطعه نگهدارنده در کف تشکیل می‌شود. این قالب فولادی برای تهیه ۸ نمونه استوانه ای به ارتفاع ۱۵۰ mm و قطر ۱۵mm در هر ذوب ریزی طراحی گردیده است (شکل ۲).

به منظور بررسی خواص نمونه‌های کامپوزیتی ساخته شده در این پژوهش، آزمایش‌هایی انجام شد که در زیر به تجهیزات مربوط به هریک اشاره می‌شود. برای بررسی فازی کامپوزیت‌ها، از دستگاه پراش اشعه X مدل Philips Xpertpro ساخت شرکت استفاده شد. جهت تهیه تصاویر و بررسی ریزساختاری پودرها و نیز کامپوزیت‌های ساخته شده، از میکروسکوپ الکترونی روبشی (SEM) مدل CamScan MV2300 ساخت شرکت Oxford انگلستان استفاده شد.

منیزیا با قطر نانو که می‌توانند به مراتب خواص بهتری را در مقابل ذرات با قطر میکرون در کامپوزیت ایجاد کنند، نشان‌دهنده نوآوری‌های مقاله و این پژوهش می‌باشد.

## مواد و روش‌ها

از آلیاژ Al-356 که به عنوان زمینه فلزی کامپوزیت-ها استفاده شد. شمشهای این آلیاژ از شرکت تولیدی صنعتی کیان آلیاژ کاشان تهیه شد. جدول ۱ ترکیب شیمیایی این آلیاژ را که توسط شرکت مذکور در اختیار قرار گرفت را نشان می‌دهد.

نانو ذرات منیزیا به عنوان ماده‌ی تقویت‌کننده در این پژوهش مورد استفاده قرار گرفت. ابعاد این پودر در حدود ۶۰-۸۰ نانو متر بوده و به روش سنتز شیمیایی و با خلوص ۹۹٪ در دانشگاه صنعتی مالک اشتر تولید شده است [۳۰]. به منظور تهیه مخلوط مذاب، از کریولیت به عنوان کمک ذوب استفاده شد. هدف اصلی از افزودن کریولیت به مذاب، بیرون کشیدن سرباره و ناخالصی‌های مذاب، کاهش کشش سطحی مذاب (که باعث غوطه وری ذرات منیزیا با وجود دانسیته بالای آنها می‌شود) و نهایتاً جلوگیری از اکسیداسیون سطحی مذاب آلومینیوم، می‌باشد. خلوص این پودر ۹۹٪ و اندازه ذرات آن حدود ۱mm بود که پس از آسیاب کردن به مذاب اضافه گردید. فرمول شیمیایی این پودر  $\text{Na}_3\text{AlF}_6$  می‌باشد. کریولیت مورد استفاده در این پژوهش از شرکت ایرالکو تهیه گردید.

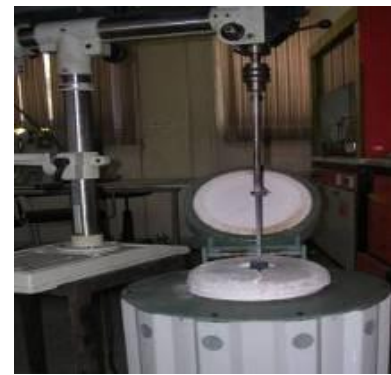
جدول ۱- ترکیب شیمیایی آلیاژ آلومینیوم A-356

عنصر	Al	Si	Fe	Cu	Mg	Mn	Zn	Ti	Ni
درصد وزنی	۹۱/۷۳	۷/۲۳	۰/۳۲	۰/۱۸	۰/۳۸	۰/۰۲	۰/۰۵	۰/۰۱	۰/۰۵

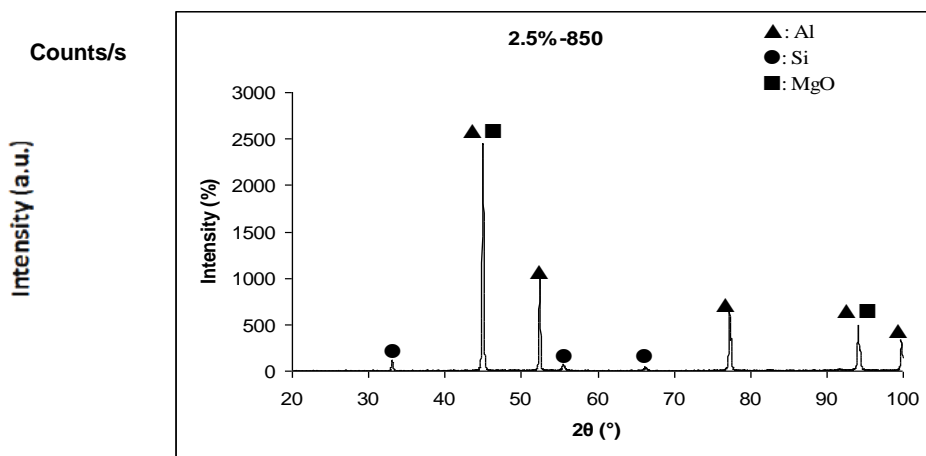


شکل ۲- تصویر قالب ساخته شده در این پژوهش  
بررسی اثر دما بر توزیع ذرات و افزایش ترشوندگی منیزیا  
توسط آلمینیوم مذاب، بار ریزی در دو دمای ۸۵۰ و ۹۵۰ °C  
به درون قالب ریخته شده و کامپوزیت تولید گردید. در  
مجموع، هر کدام از سه درصد حجمی (۱/۵، ۲/۵ و ۳/۵٪) منیزیا در سه دمای متفاوت ۸۰۰ و ۸۵۰ و ۹۵۰ °C ذوب  
ریزی شده و از هر حالت ۸ نمونه تهیه گردید.

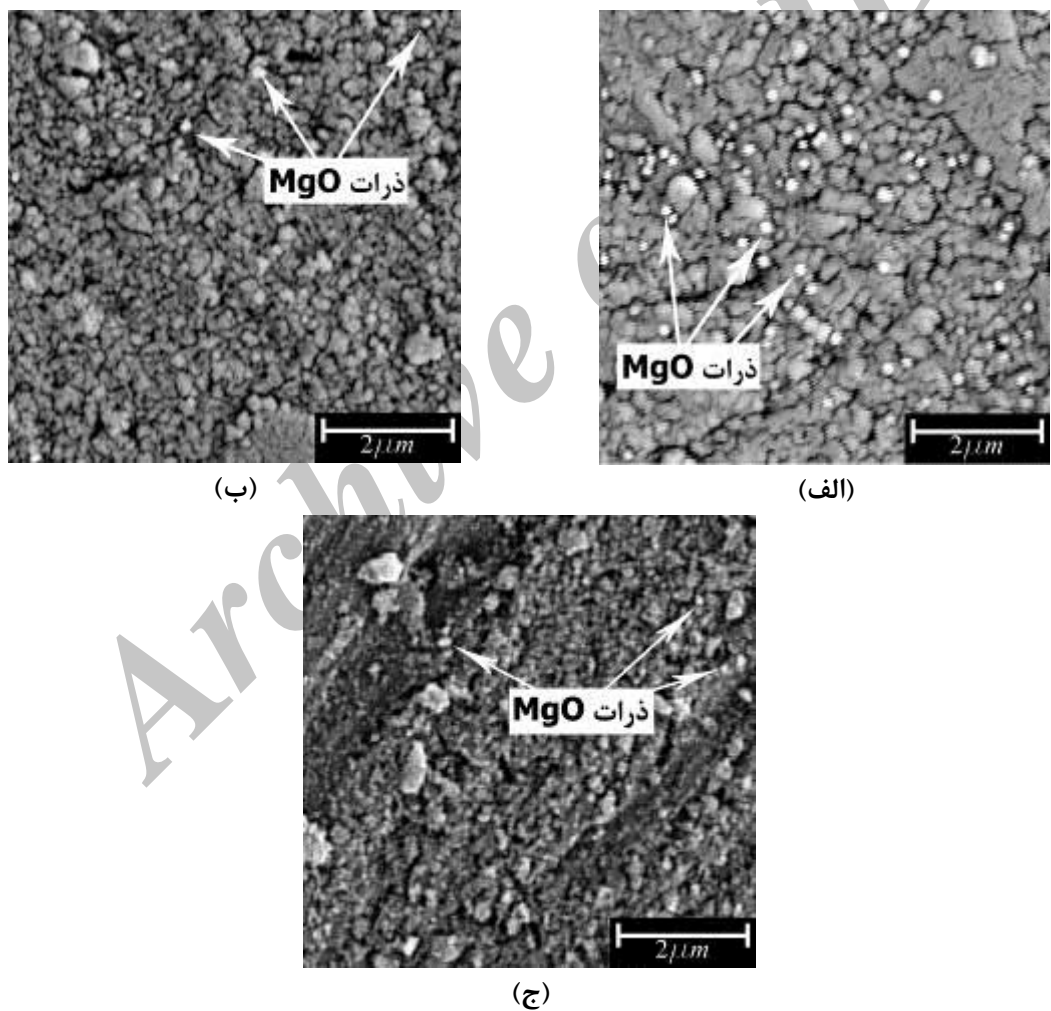
الگوی پراش اشعه X (XRD) به منظور تعیین  
فازهای موجود در کامپوزیت‌های ریخته‌گری شده تهیه  
گردید. برای هر حالت ریخته‌گری، یک نمونه استوانه‌ای با  
ارتفاع تقریبی ۵mm از قسمت وسط میله تهیه و  
ناهمواری‌های سطح آنها توسط سنباده از بین برده شد و  
الگوی پراش اشعه X آن تهیه گردید. به منظور بررسی  
عناصر موجود، مورفولوژی فازها، ذرات و حفرات ایجاد  
شده در نمونه‌ها و نیز مشاهده فاز منیزیا در نمونه‌ها  
کامپوزیتی، از میکروسکوپ الکترونی (SEM) استفاده شد.  
برای این منظور از هر شمش ریخته‌گری شده یک نمونه  
به صورت قرص با ارتفاع تقریبی ۱۰mm تهیه و پس از  
سنbadه زنی با آلمینیای ۱ میکرون پولیش شدند. سپس از  
 محلول Keller به مدت ۴۵ ثانیه برای اج کردن نمونه‌ها  
استفاده گردید [۳۱].



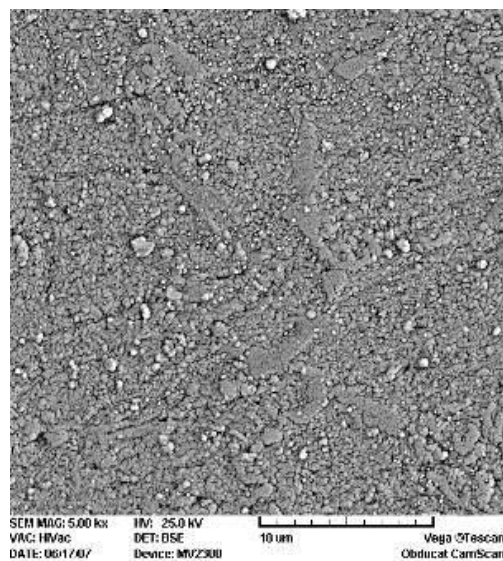
شکل ۱- سیستم ریخته گری ساخته شده در این پژوهش  
به منظور ساخت کامپوزیت‌ها، در ابتدا مقدار لازم  
پودر منیزیا با انجام محاسبات مربوطه نسبت به وزن  
شمش آلمینیوم مصرفی در هر مرحله و در مقادیر حجمی  
۱/۵، ۲/۵ و ۳/۵٪ تعیین و توزین شد. در هر ذوب مقدار ۱۰  
تا ۱۵ گرم کریولیت به عنوان کمک ذوب برای محافظت  
از سطح مذاب در مقابل اکسیداسیون اضافه شد. پس از  
ذوب کامل آلمینیوم، کریولیت اضافه شده توسط یک  
همزن گرافیتی دستی هم زده می شد. نانو پودر منیزیا  
درون فویل‌های بسیار نازک و کوچک آلمینیومی قرار داده  
شده و به آرامی به مذاب اضافه گردید. همزن گرافیتی نیز  
به گونه‌ای درون کوره و بوته فرار گرفت که فاصله آن تا  
کف بوته یک سوم ارتفاع کل بوته باشد. با مطالعه گزارش-  
های ساخت دیگر کامپوزیت‌های ذره‌ای به روش گردابی و  
بررسی مدت زمان و سرعت همزدن در آنها و همچنین با  
در نظر گرفتن فاکتورهای مهم و موثر همچون ریز بودن  
ذرات منیزیا، زمان همزدن ۱۳ دقیقه و سرعت همزن  
۸۰۰ °C در ۴۲۰ rpm گرفته شد. علت انتخاب دمای  
به دلیل دمای اختلاط مناسب نانو ذرات منیزیا در  
آلuminium مذاب (در حد ۱۵۰ °C بالای نقطه ذوب فلز) و  
برخوردار بودن مخلوط کامپوزیتی از سیلان کافی در حین  
ریخته گری و پر کردن قالب می باشد. همچنین برای



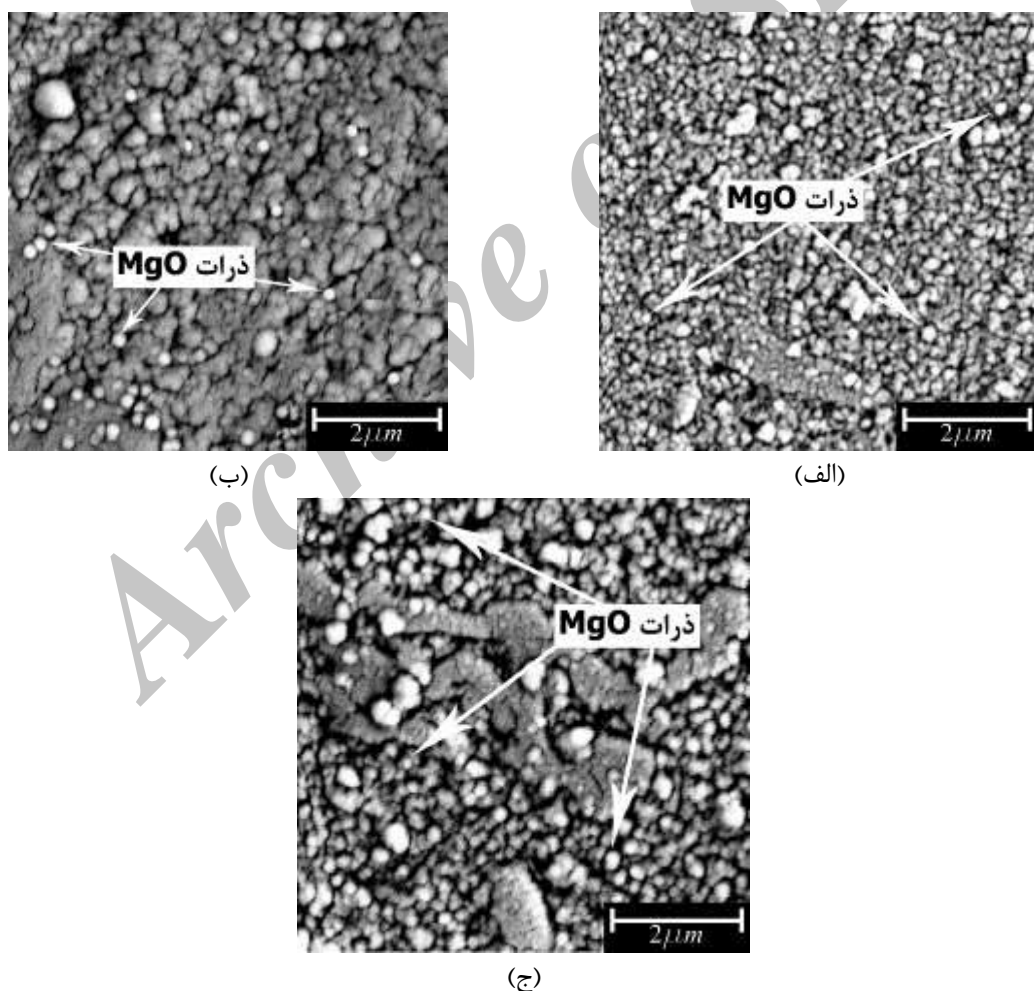
شکل ۳- نمودار پراش اشعه X نمونه حاوی ۲/۵٪ حجمی منیزیا ریخته گری شده در  $850^{\circ}\text{C}$



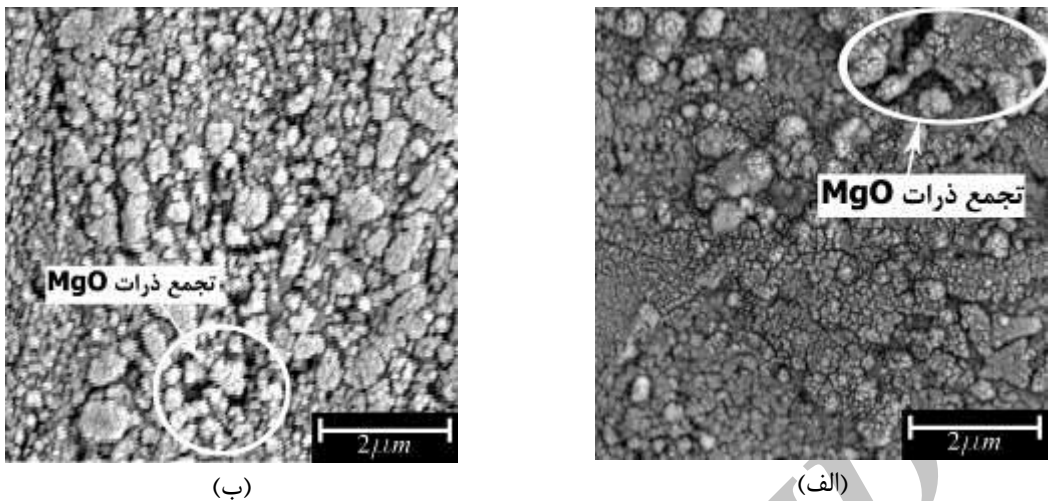
شکل ۴- تصویر میکروسکوپ الکترونی از نحوه توزیع ذرات منیزیا در زمینه‌ی آلیاژ آلمینیم A356 برای نمونه‌های ریخته گری شده در دمای  $800^{\circ}\text{C}$  و درصدهای حجمی (الف) ۱/۵، (ب) ۲/۵ و (ج) ۵.



شکل ۵- تصویر میکروسکوپ الکترونی نمونه ریخته گری شده در  $800^{\circ}\text{C}$  -  $1/5$  % حجمی منیزیا.



شکل ۶- تصویر میکروسکوپ الکترونی از توزیع ذرات منیزیا در زمینه‌ی آلیاژ آلمینیم A356 برای نمونه‌های ریخته گری شده در دمای  $850^{\circ}\text{C}$  و درصدهای حجمی (الف)، (ب) و (ج).



شکل ۷- تصویر میکروسکوپ الکترونی از نحوه توزیع ذرات منیزیا در زمینه‌ی آلیاژ آلومنیم A356 برای نمونه‌های ریخته گری شده در دمای  $950^{\circ}\text{C}$  و درصدهای حجمی (الف) ۱/۵ و (ب) ۲/۵.

کار رفته است، در این ساختار اثری از حضور فازهای دیگر که امکان دارد در اثر واکنش‌های مخرب به وجود آید، نیست. به واسطه یکی بودن، از لحاظ پایه ای تمام نمودارهای پراش اشعه X مربوط به ۹ حالت، با ذکر این موضوع که در سایر نمونه‌ها هم دقیقاً همین پیک‌ها موجود است با این تفاوت که با تغییر درصد حجمی، شدت پیک‌ها هم اندکی کم و زیاد می‌شود، تنها به آوردن نمودار پراش اشعه X نمونه حد وسط (چه از لحاظ دمایی و چه از لحاظ درصد حجمی) بستنده شده است.

به طور کلی نحوه توزیع ذرات تقویت‌کننده در آلیاژ زمینه یکی از مشکلات موجود در تولید کامپوزیت‌ها به روش ریخته گری گردابی است. شکل ۴ تصاویر میکروسکوپ الکترونی تهیه شده از نمونه‌های کامپوزیت ریخته گری شده در دمای  $80^{\circ}\text{C}$  و درصدهای حجمی ۱/۵، ۲/۵ و ۵ می‌باشد، که نشان دهنده‌ی چگونگی پراکندگی ذرات تقویت‌کننده‌ی پودر منیزیا در زمینه‌ی آلیاژ آلومنیم A356 می‌باشد. همان‌گونه که دیده می‌شود ذرات منیزیا در زمینه به خوبی پخش گردیده‌اند و تجمع چندانی از این ذرات در کنار هم دیده نمی‌شود. این امر را می‌توان به عواملی نظیر سرعت و زمان هم‌زدن مناسب نسبت داد. در پژوهشی که آقای پرابو و همکارانش [۳۱] انجام دادند مشخص شد که افزایش زمان و سرعت هم‌زدن

## نتایج و بحث

به منظور بررسی فازهای تشکیل شده در نمونه‌های کامپوزیتی ساخته شده، از نمودارهای پراش اشعه X استفاده گردید که نشان دهنده شدت برحسب زاویه پراش می‌باشد. در اینجا سعی شد کلیه فازهای ترکیبی احتمالی بین آلومنیوم و منیزیا و همچنین ترکیبات احتمالی آلومنیوم با عناصر موجود در آلیاژ مدنظر قرار گیرند. از بین نمودارهای پراش اشعه X، ۹ حالت نمونه کامپوزیت ریخته گری شده، حالت حد وسط یعنی استفاده از پودر منیزیا در  $850^{\circ}\text{C}$  و ۲/۵٪ حجمی، به همراه تحلیل نتایج و بررسی فازهای موجود آورده شده است. با بررسی نمودار پراش اشعه X که در شکل ۳ آورده شده است، ملاحظه می‌شود که به راحتی و بدون هیچ‌گونه پوشش و عملیات حرارتی ذرات سرامیکی، پیک‌های مربوطه آشکار شده و می‌توان از وجود فاز منیزیا در ساختار اطمینان کامل حاصل نمود. در بررسی صورت گرفته از عکس‌های میکروسکوپ الکترونی نمونه‌های تولیدی هم علاوه بر اثبات این موضوع، به بررسی توزیع مناسب ذرات فاز دوم با وجود اندازه فوق العاده کوچک این ذرات پرداخته خواهد شد. همان‌گونه که مشاهده می‌شود به غیر از آلومنیوم و سیلیسیم که عناصر اصلی تشکیل دهنده‌ی آلیاژ آلومنیم A356 هستند و منیزیا که به عنوان فاز تقویت‌کننده به

سیلیسیم) وجود خواهد داشت [۳۳-۳۵]. در حقیقت با وجود اینکه آلومینیوم و منیزیا هر دو دارای شبکه کریستالی FCC هستند و بحث عدم تطابق (Mismatch) شبکه کریستالی در فصل مشترک فلز- سرامیک تا حد زیادی متفاوت است، اما فاکتورهای دیگری هم در بحث عدم جوانه زنی  $\alpha\text{-Al}$  بر روی ذرات منیزیا دخیل خواهند بود: ۱- ذراتی که در این کامپوزیت‌ها مورد استفاده قرار گرفته‌اند پلی کریستال هستند و این‌گونه نیست که صفحات کریستالی‌ای که سطح آنها را تشکیل می‌دهند طوری جهت‌گیری کنند که همیشه فصل مشترک کم ارزشی تشکیل شود. ۲- عدم تر شوندگی ذرات سرامیکی منیزیا با مذاب آلومینیوم که پیش‌تر هم اشاره شد. ۳- بحث انتشار حرارتی (Thermal Diffusivity): مقدار محو شدن و از بین رفتن شبیب حرارتی درون یک ماده را به ما نشان می‌دهد و باید توجه کرد که تقویت کننده‌های سرامیکی در کامپوزیت‌های زمینه فلزی انتشار حرارتی کمتری نسبت به آلیاژ زمینه دارند. به علاوه گرمای نهان ذوب که در طول انجماد آزاد می‌شود باعث می‌شود که سرعت سرد شدن تقویت کننده کاهش یابد. در نتیجه ذرات نمی‌توانند زودتر از مذاب سرد شوند پس دمای ذرات بیش از دمای مذاب خواهد بود و این ذرات داغ باعث می‌شوند دمای محیط اطراف آنها افزایش یابد و انجماد مایع اطراف به تأخیر بیفتند. به این ترتیب مایعی که در تماس با تقویت کننده است در واقع آخرین مناطقی از مذاب است که منجمد می‌شود. در نهایت چون دیواره‌های قالب سرددتر از مذاب و ذرات تقویت کننده است انجماد از دیواره قالب آغاز می‌شود [۳۳-۳۵].

شکل ۶ تصاویر میکروسکوپ الکترونی تهیه شده از نمونه‌های ریخته‌گری شده در دمای  $850^{\circ}\text{C}$  را نشان می‌دهد. به دلیل وجود مزایایی همچون افزایش سیالیت مخلوط مذاب کامپوزیتی که تا حدودی منجر به توزیع بهتر ذرات سرامیکی و تسهیل در انجام ذوب ریزی مخلوط مذاب می‌گردد و همچنین تا حدی هم باعث بهبود ترشوندگی می‌شود، در این پژوهش از دمایهای بالاتر ( $850$  و  $950^{\circ}\text{C}$ ) هم برای تولید این کامپوزیت استفاده شد. همان‌گونه که ملاحظه می‌شود ذرات منیزیا در این حالت نیز به صورت مطلوبی در آلیاژ زمینه پخش شده‌اند. در

مخلوط کامپوزیتی متشکل از آلیاژ آلومینیم A358 و ذرات کاربید سیلیسیم منجر به توزیع بهتر ذرات در زمینه خواهد شد. در این پژوهش سرعت و زمان هم‌زدن مخلوط کامپوزیتی به ترتیب  $420\text{ rpm}$  و  $13$  دقیقه بود که باعث شد توزیعی همگن و قابل قبول از ذرات تقویت کننده‌ی منیزیا در زمینه آلیاژ آلومینیم A356 بdest آید. از طرفی همان‌گونه که در شکل ۴ مشاهده می‌شود، افزایش درصد حجمی فاز تقویت کننده باعث تجمع ذرات در کتار هم نشده و توزیع ذرات یکنواخت و قابل قبول است.

علاوه بر مطالب ذکر شده فوق، با استفاده از شکل ۵ که با بزرگنمایی کوچکتری تهیه شده است، مطالب تکمیلی از دید دیگری در ارتباط با نحوه توزیع ذرات فاز تقویت کننده و همچنین عناصر آلیاژی در آلیاژ زمینه، قابل برداشت خواهند بود. در حین بررسی نمونه‌ها، آنچه در ابتدا به وضوح جلب نظر می‌نماید، ذرات منیزیا هستند که به طور پراکنده و به رنگ سفید (به دلیل عدد اتمی بالاتر، روشن تر هستند)، در زمینه خاکستری آلومینیم دیده می‌شود. هدف از تهیه تصاویر میکروسکوپ الکترونی در این نمونه‌ها، بررسی نحوه توزیع منیزیا در آلومینیم بوده است. با نگاهی دقیق تر در برخی مناطق می‌توان به وجود آگلومره در نقاطی پی برد که این موضوع در فرآیند ریخته‌گری با اندازه ذرات بسیار ریز (در حد نانو)، اجتناب ناپذیر است. به طور کلی وقتی که فصل مشترک جامد- مایع حرکت می‌کند، ذره متحرک خارجی یا محبوس می‌گردد و یا اینکه پس زده می‌شود. در کامپوزیت‌هایی که در این پژوهش مورد بررسی قرار گرفته‌اند، ذرات در آخرین مناطق انجام‌دادی توسط زمینه، محبوس شده‌اند. به علت اینکه  $\alpha\text{-Al}$  بر روی ذرات فاز ثانویه جوانه زنی نکرده است، ذرات در آخرین مراحل انجماد محبوس شده‌اند. یعنی چون دیواره‌های قالب سرددتر از مذاب و ذرات تقویت کننده در وسط قالب است، انجماد از دیواره قالب آغاز می‌شود و به سمت مرکز قالب پیشرفت می‌کند. در مورد عناصر آلیاژی همچون سیلیسیوم در این آلیاژ، فرآیند پس زده شدن عناصر آلیاژی در حین انجماد هم دقیقاً از حالت فوق تبعیت می‌کند. به طوری که نهایتاً در مرز دانه‌ها، مناطق بین دندربیتی و یا پایانی انجماد، تجمعی از ذرات منیزیا و یوتکتیک سیلیسیم- آلومینیوم (فاز غنی از

## نتیجه گیری

- ۱) کامپوزیت زمینه آلمینیوم با فاز تقویت کننده نانو منیزیا به طور موفقیت آمیزی توسط روش ریخته‌گری گردابی تولید گردید.
- ۲) ذرات منیزیا بیشتر در مناطقی از کامپوزیت مشاهده شدند که آخرین محل‌های منجمد شده مذاب است. هم‌چنین ریز ساختار کامپوزیت‌های تولید شده نشان می‌دهد که  $\alpha\text{-Al}$  بر روی ذرات منیزیا جوانه زنی نکرده است.
- ۳) با توجه به الگوی پراش XRD نمونه‌ها در محدوده دمایی انجام شده در این پژوهش ( $800\text{--}950^{\circ}\text{C}$ )، حضور فاز تقویت کننده در ساختار اثبات می‌شود.
- ۴) افزایش دمای مذاب در حین ریخته‌گری تا حدودی به عمل ترشوندگی کمک می‌کند ولی از طرفی دیگر، افزایش دمای مذاب (فوق گداز) باعث افزایش تلاطم مذاب، جدایش و تجمع بیش از حد نانو ذرات منیزیا خواهد شد که این پدیده‌ها تاثیر منفی بر خواص کامپوزیت می‌گذارند.
- ۵) طبق تصاویر میکروسکوپ الکترونی، در روش ریخته‌گری گردابی توزیع ذرات پودر منیزیا در زمینه‌ی آلیاز آلمینیوم A356 در دماهای  $800\text{--}850^{\circ}\text{C}$  درجه‌ی سانتی گراد یکنواخت است و با وجود آگلومره‌های منیزیا در مناطقی از ساختار، توزیع این آگلومره‌ها یکنواخت می‌باشد. ولی در دمای  $950^{\circ}\text{C}$  توزیع و پراکندگی این ذرات قابل قبول نیست.
- ۶) با استفاده از روش نوین افزودن پودر سرامیکی به مذاب در داخل فویل آلمینیوم، حتی بدون پوشش‌دهی ذرات منیزیا و نیز استفاده از ذرات در حد نانو، می‌توان به توزیع مناسب و قابل قبول ذرات سرامیک در زمینه‌ی فلزی دست یافت.

## Reference

1. G.E. Hatch, ASM International .Metals Park.OH, 1980.
2. D.L. McDanel, Metall. Trans. A, Vol. 16, pp.1105-1116, 1985.

شکل ۶ نیز به مانند نمونه‌های سری قبلی، آگلومره‌هایی با توزیع مناسب و یکنواخت از ذرات منیزیا در زمینه دیده می‌شود. مشاهده می‌شود که با وجود این اجتماعات باز هم می‌توان توزیعی از ذرات منیزیا با ابعاد کوچکتر را تشخیص داد. هم‌چنین افزایش دمای فوق گداز از  $800^{\circ}\text{C}$  به  $850^{\circ}\text{C}$  تأثیر چندانی در نحوه‌ی پراکندگی ذرات منیزیا در زمینه و تجمع آنها در کنار هم ندارد.

شکل ۷ تصاویر میکروسکوپ الکترونی نمونه‌های کامپوزیتی ریخته‌گری شده در دمای  $950^{\circ}\text{C}$  را نشان می‌دهد. در این شکل توزیع ذرات تقویت کننده منیزیا در زمینه به خوبی نمونه‌های ریخته‌گری شده در دماهای  $800\text{--}850^{\circ}\text{C}$  نیست. همان‌گونه که از این تصاویر بر A356 می‌آید ذرات به خوبی در زمینه آلیاز آلمینیوم پخش نشده‌اند. دلیل این امر را می‌توان به افزایش دمای فوق گداز و بیشتر شدن زمان انجام آلیاز زمینه نسبت داد. در این حالت رشد دندربیت‌های آلیاز زمینه باعث افزایش فاصله‌ی بازوهای دندربیتی (DAS) می‌شود که محل مناسبی برای تجمع ذرات پودر منیزیا هستند. به علاوه دمای بالای ریخته‌گری و ابعاد نانومتری ذرات فاز تقویت کننده به تجمع آنها در این نواحی کمک خواهد کرد.

با توجه به ثابت بودن سرعت و زمان همزدن در حین تهیی نمونه‌های کامپوزیتی ریختگی تولید شده، تأثیر درصد حجمی فاز تقویت کننده و دمای فوق گداز آلیاز زمینه بر نحوه‌ی توزیع ذرات تقویت کننده منیزیا در زمینه آلیاز آلمینیوم A356 مورد بررسی قرار گرفت. به عنوان جمع‌بندی نتایج حاصل از بررسی میکروسکوپ الکترونی می‌توان گفت که با افزایش دمای فوق گداز از  $800\text{--}850^{\circ}\text{C}$  پراکندگی ذرات کاهش یافت که دلیل آن را می‌توان به افزایش فاصله‌ی بازوهای دندربیتی در اثر بالا رفتن زمان انجام آلیاز زمینه و هم‌چنین تجمع آسان‌تر ذرات تقویت کننده با ابعاد نانومتری در دماهای  $850^{\circ}\text{C}$  بالاتر نسبت داد. از این رو فوق گدازهای  $800\text{--}850^{\circ}\text{C}$  نسبت به  $950^{\circ}\text{C}$  علی‌رغم پایین‌تر بودن سیالیت مذاب ترجیح داده می‌شوند.

- stir processing: Investigating microstructure, microhardness, wear and tensile behavior ", Materials Characterization, 62, 108, 2011.
13. L. Lu, M.O. Lai, X.P. Niu, et al., Z METALLKD., 8, 567, 1998.
  14. Y. Sahin, M. Kok, H. Celik, " Tool wear and surface roughness of  $\text{Al}_2\text{O}_3$  particle-reinforced aluminium alloy composites", J. Mater Process Technol., 128, 280, 2002.
  15. J. Safari, M. Chermahini, G. Akbari, "The effect of Mg content on microstructure and mechanical properties of  $\text{Al}-x\text{Mg}/5\text{Al}_2\text{O}_3$  nanocomposite prepared by mechanical alloying", J. Powder. Technol., 234, 7, 2013.
  16. H. Qu, S. Zhu, Q. Li, " Influence of sintering temperature and holding time on the densification, phase transformation, microstructure and properties of hot pressing WC–40 vol.%  $\text{Al}_2\text{O}_3$  composites", J. Ceram. Int., 38, 1371, 2012.
  17. H. Su, W. Gao, Z. Feng, Z. Lu, " Processing, microstructure and tensile properties of nano-sized  $\text{Al}_2\text{O}_3$  particle reinforced aluminum matrix composites", J. Mater. Design, 36, 590, 2012.
  18. A. Kumar, S. Lal, S. Kumar, "Fabrication and characterization of A359/ $\text{Al}_2\text{O}_3$  metal matrix composite using electromagnetic stir casting method ", J. Mater Research Technol., 2, 250, 2013.
  ۱۹. ل. دریس؛ ش. شرفی، "بررسی تأثیر سرعت آسیاکاری بر تولید نانوکامپوزیت در جای  $\text{Al}_2\text{O}_3$ - $\text{ZrB}_2$  با استفاده از روش مکانوشیمیایی"، مجله مواد نوین، جلد ۴، شماره ۳، صفحه ۴۹-۳۹، بهار ۱۳۹۳
  20. J. Lai, Z. Zhang, X.G. Chen, "Precipitation strengthening of  $\text{Al}-\text{B}_4\text{C}$  metal matrix composites alloyed
  3. D. Hull, "An Introduction to Composite Material, 2<sup>nd</sup> ed.", Mc Graw-Hill Book Co., pp.196-252, 1981.
  4. B.D. Evans and M. Stapelbroek, "Fusion/fission neutron damage ratio for alumina", Journal of Nuclear Materials, Vol.85/86, p.497, 1979.
  5. Y.H. Seo, and C.G. Kang., "Effects of hot extrusion through a curved die on the mechanical properties of SiCp/Al composites fabricated by melt-stirring", Journal Composites Science technology, Vol.59, pp.643-654, 1999.
  6. T. Alpas, J. Zhang,"Wear rate transaction in cast Al –silicon alloys reinforced with SiC particle",J. Scripta Metall Mater, 26, 505, 1992.
  7. S. Lim, "High-speed tribological properties of some Al/SiC<sub>p</sub> composites: II. Wear mechanisms", J. Comp Sci Technol., 59, 65, 1999.
  8. M. Reyes, M. Canul, J. Torres, "Development of aluminum hydroxides in Al–Mg–Si/SiCp in infiltrated composites exposed to moist air", J. Ceram. Int., 37, 2719, 2011.
  9. Q. Zhang, X. Ma, G. Wu, " Interfacial microstructure of SiCp/Al composite produced by the pressureless infiltration technique", J. Ceram. Int., 39, 4893, 2013.
  10. R. Ekici, M. K. Apalak, M. Yildirim, "Indentation behavior of functionally graded Al–SiC metal matrix composites with random particle dispersion", Composites Part B: Engineering, 42, 1497, 2011.
  11. H. Qing, "2D micromechanical analysis of SiC/Al metal matrix composites under tensile, shear and combined tensile/shear loads", Materials & Design, 51, 438, 2013.
  12. M. Barmouz, M. K. Besharati Givi, J. Seyfi, "On the role of processing parameters in producing Cu/SiC metal matrix composites via friction

- Materials Science, Vol.22, No.1, pp.1-16, 1987.
28. F. Aiguo, J. Benjamin, "Wettability of transition metal oxide surfaces", Materials Science and Engineering, Vol.A242, pp.50-56, 1998.
29. J. Hashim, L. Looney, "The wettability of SiC particles by molten aluminum alloy", Journal of Materials Processing Technology, Vol.119, pp.324-328, 2001.
۳۰. م. ا. باعچه سرا؛ ح. عبدی زاده، ح. ر. بهاروندی، "بررسی خواص مکانیکی کامپوزیت Al-Nano" تولید شده توسط روش گردابی"، مجله نانومواد، جلد ۱۵، شماره ۵، صفحه ۱۶۹-۱۷۷، ۱۳۹۲.
31. ASM Handbook Formerly Ninth Edition, Metallographic techniques and microstructures Al alloys, Vol. 9, page 354, 1998.
32. S.B. Prabu, L. Karunamoorthy, S. Kathiresan, B. Mohan, "Influence of stirring speed and stirring time on distribution of particles in cast metal matrix composite", Journal of Materials Processing Technology, Vol. 171, pp. 268-273, 2006.
33. Y.S. Toulouklian, R.W. Powell, C.Y. Ho, M.C. Nicolaou, Thermal Diffusivity: Thermophysical Properties of Materials, Vol. 10, IFI/Plenum Press, New York, 1973.
34. A. Mortensen, J.A. Cornie, M.C. Flemings, Metal. Trans. A 19, 709, 1988.
35. A. Daoud, M. Abo-Elkhar, Influence of Al<sub>2</sub>O<sub>3</sub> or ZrO<sub>2</sub> particulate addition on the microstructure aspects of AlNi and AlSi alloys, Journal of Materials Processing Technology, pp.1- 6, 2001.
- with Sc and Zr", J. Alloy. Compd., 552, 227, 2013.
21. E.P. DeGarmo, J.T. Black, R.A.Kohser, DeGarmo's Materials and Processes in Manufacturing, John Wiley & Sons, Inc., United States of America, 481, 2012.
۲۲. ع. عبدالهی؛ ع. علیزاده، "تولید نانوکامپوزیت دو جزی فوک مستحکم زمینه آلومینیومی به روش آلیاژسازی مکانیکی و اکسیتروزن داغ و بررسی خواص مکانیکی آن"، مجله مواد نوین، جلد ۴، شماره ۱، صفحه ۹۸-۸۳، پاییز ۱۳۹۲.
23. R. Bauri, D. Yadav, G. Suhas, J. Mater. Sci. Eng. A, 528, 4732, 2011.
24. M.K. Surappa, P.K. Rohatgi, "Preparation and properties of cast aluminium ceramic particle composites", Journal of Materials Science, vol.16A, pp.983-993, 1981.
25. Y. Chen, M. M. Abraham, M. T. Robinson, J. B. Mitchell and R. A. Van Konynenburg, MAGNESIUM OXIDE (MgO) - Advanced Energy Technology Program , Proc. Intern. Conf. on Radiation Effects and Tritium Tech Fusion Reactors, Gatlinburg, TN, p.492, 1975.
26. X. Cao, J. Campbell, "Effect of precipitation and sedimentation of primary  $\alpha$ -Fe phase on liquid metal quality of cast Al-11.1Si-0.4Mg alloy", International Journal of Cast Metals Research, Vol.17, pp.1-11, 2004.
27. Delannay, F. Froyen, "Wetting of solids by molten metals and its relationship to the preparation of metal matrix composites", Journal of